

Gebeliğin 16-24. Haftalarındaki Serebral Lateral Ventriküler Atrial Genişlik Nomogramı

The Nomogram of Cerebral Lateral Ventricular Atrial Diameter at 16-24 Weeks' Gestation

Dr. Gökhan GÖYNÜMER,^a

Dr. Resul ARISOY,^b

Dr. Murat YAYLA^c

^aKadın Hastalıkları ve Doğum Kliniği, İstanbul Göztepe Eğitim ve Araştırma Hastanesi,

^bKadın Hastalıkları ve Doğum Kliniği, İstanbul Okmeydanı Eğitim ve Araştırma Hastanesi,

^cKadın Hastalıkları ve Doğum Kliniği, İstanbul International Hospital, İstanbul

Geliş Tarihi/Received: 30.01.2009
Kabul Tarihi/Accepted: 31.03.2009

Yazışma Adresi/Correspondence:

Dr. Gökhan GÖYNÜMER

İstanbul Göztepe Eğitim ve Araştırma Hastanesi,

Kadın Hastalıkları ve Doğum Kliniği, İstanbul,

TÜRKİYE/TURKEY

goynumero@ttmail.com

ÖZET Amaç: Prognozu bilinen normal gebeliklerde 16-24. gebelik haftalarında fetusun serebral lateral ventriküler atrium genişliği (LVG)'nin ve serebral LVG'nin biparyetal çap (BPD)'a oranının dağılıminin değerlendirilmesi ve nomogramının elde edilmesi. **Gereç ve Yöntemler:** Bu prospektif çalışmada, 16-24. gebelik haftalarında yapısal olarak normal 734 fetusa ait fetal biyometrik ölçümler transabdominal ultrason ile yapıldı. Bu fetusların LVG'nin gebelik haftalarına göre dağılımı çıkarıldı ve 16-24. gebelik haftaları arasında yüzdelik değerleri hesaplandı. LVD'nin, gebelik haftası (GH) ve BPD ile regresyon analizleri yapıldı. LVG/BPD'nin gebelik haftalarına göre dağılımı çıkarıldı ve gebelik haftası ile regresyon analizi yapıldı. **Bulgular:** 16-24 gebelik haftaları arasında LVG'nin medyan değerleri 16. haftadan 24. haftaya sırasıyla 7.0-7.3-7.2-7.7-7.0-6.7-6.3-6.2 ve 6.2 mm olarak saptandı. LVG'nin gebelik haftası ile progresif olarak artmadığı saptandı. Ortalama LVG $6.73 \text{ mm} \pm 1.08$ (ortalama \pm standart sapma) olarak bulundu. Medyan, LVD/BPD'de 16. haftadan 24. haftaya sırasıyla 0.21-0.20-0.18-0.17-0.15-0.13-0.12-0.11 ve 0.11 olarak saptandı. Bu oranın gebelik haftası (GH) ile ilişkisi incelendiğinde, 16-24 gebelik haftaları arasında lineer olarak azaldığı ve LVD/BPD ile GH arasındaki lineer regresyon analizi ile regresyon denklemi: LVD/BPD= 0.425-GH $\times 0.013$ saptandı. ($r^2= 0.68$; $p< 0.001$). **Sonuç:** LVG'nin gebelik haftası ile progresif olarak artmadığı saptandı.

Anahtar Kelimeler: Nomogramlar, gebelik haftası, lateral ventriküler

ABSTRACT Objective: To obtain nomogram and normal range of fetal cerebral lateral ventricular atrial diameter (LVD) and the ratio of fetal cerebral LVD to biparietal diameter (BPD) at 16-24 weeks of gestation in known prognosis of normal pregnancies. **Material and Methods:** Fetal LVD and other routine biometric measurements of 734 structurally normal fetuses at 16-24 weeks of gestation were measured prospectively by transabdominal ultrasound. The distribution of LVD is established according to gestational weeks (GW) and percentiles between 16-24 weeks are calculated. Relationship between fetal LVD; gestational weeks and biparietal diameter were assessed by regression analysis. The distribution of LVD/BPD ratio is established according to gestational weeks and assessed by regression analysis. **Results:** Median values of LVD between 16-24 weeks were 7.0-7.3-7.2-7.7-7.0-6.7-6.3-6.2 and 6.2 mm, respectively. The LVD did not progressively increase with advancing gestational age. The mean LVD for the combined group of all 734 cases was $6.73 \text{ mm} \pm 1.08$ (mean \pm standard deviations). Median values of LVD/BPD between 16-24 weeks were 0.21-0.20-0.18-0.17-0.15-0.13-0.12-0.11 and 0.11, respectively. The ratio of LVD/BPD is linearly decreased between 16-24 weeks. Significant correlation was also found between the ratio of LVD/BPD and GW (LVD/BPD= 0.425-GW $\times 0.013$ ($r^2= 0.68$; $p< 0.001$)). **Conclusion:** The LVD did not progressively increase with advancing of gestational age.

Key Words: Nomograms, gestational age, lateral ventricles

Santral sinir sistemi (SSS), beşinci gebelik haftaşından sonra ektoderm tabakasının kalınlaşması ile oluşan nöral plak adı verilen yapıdan gelişir. Nöral plak daha sonra diferansiyeli olarak nöral tüp ve nöral katlantıyı oluşturur. Nöral tüp beyin ve spinal korddan oluşan SSS'ye farklılaşır. Nöral katlantı ise periferik sinirlerin önemli bir kısmını oluşturur.¹ Nöral tüpün diferansiyasyonu kraniyal kısımda daha fazla olur. Altıncı gebelik haftasında nöral tüpün sefalik kısmı üç primer beyin vezikülüne diferansiyeli olur. Bu veziküllerden proensefalon (ön beyin), mezensefalon (orta beyin) ve rhombensefalon (arka beyin) oluşmaktadır. Bu haftanın sonunda proensefalon; telensefalon ve diensemefalona diferansiyeli olur. Telensefalistomurcuklardan beyin korteksi ve bazal ganglionlar gelişir. Telensefalon tomurcuğunun kaviteleri de lateral ventrikülleri meydana getirir.²

Lateral ventrikül, gebeliğin 11. haftasından itibaren ultrasonografi (USG)'de görülmeye başlar. Serebral LVG; normalden geniş ($10\text{ mm} <$) olması halinde, diğer yapısal anomaliler, kromozom anomalileri ve konjenital enfeksiyon [toksoplazma, sitomegalovirus (CMV)] etkenleri araştırılmalıdır.^{3,4}

Biz bu çalışmada, kendi popülasyonumuzda, normal olarak devam etmiş gebeliklerde LVD'nin gebelik haftası ile ilişkisini, dağılımını ve nomogramını belirlemeyi amaçladık.

GEREÇ VE YÖNTEMLER

Çalışmamıza 01.01.2006-31.05.2008 tarihleri arasında başvuran 1760 gebe arasında prospektif kesitsel olarak seçilen 734 gebe dahil edildi. Çalışmaya dahil edilen tüm gebelerden onam alındı ve çalışma etik kurul tarafından onaylandı. Çalışmamız 16-24. gebelik haftaları arasında olan tekil gebeliklerden oluşturuldu. Gebelik haftası için son adet tarihi, son adet tarihini bilmeyenlerde birinci trimesterde baş-art mesafesi (CRL) veya ikinci trimesterde BPD ölçümleri esas alındı. Yapısal ve karyotip anomalileri saptananlar, çoğul gebelikler, ölü doğum yapanlar, erken membran rüptürü, erken doğum yapanlar, intrauterin gelişme geriliği gelişenler ve sistemik hastalığı olanlar çalışma dışı bırakıldı.

Ultrason ölçümler, General Electric Voluson (ABD) USG cihazı ile transabdominal (2-7MHz) yaklaşımıla, gözlemciler içi ve gözlemciler arası farklılıklar önlemek için tek kişi tarafından yapılmıştır. Fetusun biyometrik değerlendirmesi; BPD, HC (baş çevresi), AC (karın çevresi), FL (femur uzunluğu) ve HL (humerus uzunluğu) ölçümleri ile yapıldı. Ölçümlerle birlikte fetal yapılar ayrıntılı olarak değerlendirildi. LVG'nin ölçümlü; aksiyel planda, thalamus seviyesinde ve kavum septum pellucidum içeren kesitte, posterior distal lateral ventriküler atriyumun uzun aksına dik olarak yerleştirilmiş kaliperler arasındaki mesafe olarak ölçülmüşür. BPD ölçümlü; thalamus, kavum septum pellucidum ve 3. ventrikülün aynı anda izlendiği kranyumun aksial planında, ön parietal kemiginden dış kenarından, arka parietal kemiginden iç kenarına kadar olan mesafe ölçüldü.

İSTATİSTİKSEL ANALİZ

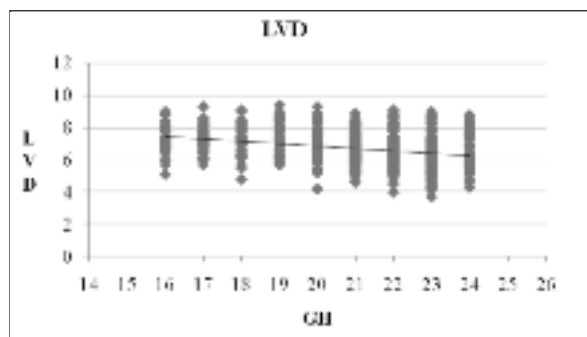
İstatistiksel analizlerde SPSS 14,0 programı kullanıldı. Tanımlayıcı istatistikler (ortalama, standart sapma, frekans) hesaplandı. LVD bağımlı değişken olarak alındı, GH ve BPD ile eşleştirilerek lineer regresyon analizleri yapıldı ve LVG/BPD, GH ile eşleştirilerek lineer regresyon analizi yapıldı. 16-24 haftaları arasında LVD'nin haftalara göre yüzdelik değerleri hesaplandı. Bağımlı ve bağımsız değişkenlerin ilişkisi Pearson korelasyon testi ile değerlendirildi. Gruplar arası çoklu karşılaştırılarda Tamhane testi kullanıldı. Sonuçlar %99'luk güven aralığında, anlamlılık $p < 0.01$ düzeyinde değerlendirildi.

BULGULAR

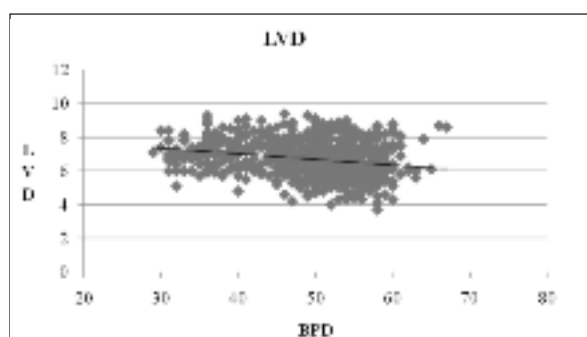
Çalışmamıza, araştırma kriterlerine uyan 734 gebelik dahil edildi. Bu gebelerin yaş aralığı 19-45 yıl olup; yaş ortalaması 30.66 ± 4.46 olarak saptandı. İncelemelerin yapıldığı GH aralığı 16-24 olup; ortalama GH 20.83 ± 1.83 olarak tespit edildi. Toplam 9 hasta grubu elde edildi.

Ortalama LVD; 6.73 ± 1.06 mm olarak bulunmuştur. LVD'nin GH ile artmadığı ve negatif (ters) zayıf bir korelasyon gösterdiği tespit edilmiştir. LVD ile GH arasındaki lineer regresyon analizi ile regresyon denklemi: $\text{LVD} = 3.513 - \text{GH} \times 0.146$ ($r^2 =$

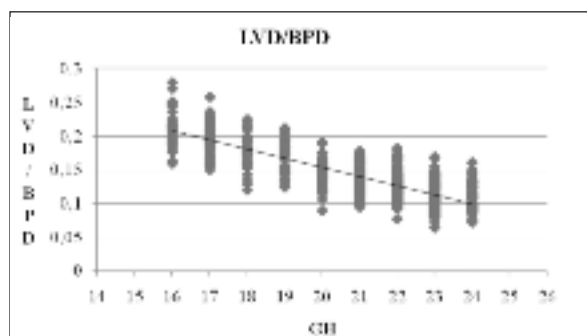
0.098) (Şekil 1). LVD ile BPD arasındaki lineer regresyon analizi ile regresyon denklemi: $LVD = 8.378 - BPD \times 0.033$ ($r^2 = 0.055$) (Şekil 2). LVD/BPD ile GH arasındaki lineer regresyon analizi ile regresyon denklemi: $LVD/BPD = 0.425 - GH \times 0.013$ ($r^2 = 0.68$; $p < 0.001$) (Şekil 3). Farklı gebelik haftalarındaki (16-24 GH) fetusların; LVD ölçümelerinin istatistiksel olarak anlamlı bir farklılığını olmadığını tespit edildi.



ŞEKİL 1: Gebelik haftasına göre LVG ölçümü (mm).



ŞEKİL 2: BPD'ye göre LVG ölçümü (mm).



ŞEKİL 3: Gebelik haftasına göre LVG / BPD oranı.

Gebelik haftasına göre %99 güven aralığında LVD Tablo 1 ve LVD/BPD Tablo 2'de gösterilmiştir. Yine gebelik haftasına göre LVD persantillerinin dağılımı Tablo 3'te gösterilmiştir.

TARTIŞMA

Ventrikülomegali obstetrik USG'de en sık saptanan (5-25/10000) anomalilerden biri olup; prenatal ve postnatal dönemde morbidite ve mortalite ile ilişkili olduğu birçok çalışmada gösterilmiştir.⁵ Bu nedenle her iki serebral ventrikülün anatomisinin ve boyutlarının belirlenmesi önemlidir. Biz kendi populasyonumuza içeren çalışmamızda, LVD' nin 16-24. GH'ler arasında GH ilerledikçe artmadığını ve ortalama LVD'yi 6.73 ± 1.08 mm olarak tespit ettilik. Alagappan ve ark., 500 normal fetusu içeren çalışmalarında, LVD'nin 16-24 gebelik haftaları arasında, gebelik haftası ile azaldığını göstermişlerdir.³ 16-20 GH arasında ortalama LVD'yi 7.2 ± 1.0 mm ve 20-24. GH arasında ortalama LVD'yi 6.7 ± 1.2 mm olarak bulmuşlardır. Farrell ve ark. yaptıkları çalışmada, LVD'nin gebeliğin ilerlemesiyle progresif olarak artmadığını tespit etmişlerdir.⁴ 17-21 GH'ler arasında ortalama LVD'yi 5.8 ± 1.0 mm ve 21-25 GH'ler arasında ortalama LVD'yi 4.7 ± 1.0 mm olarak bulmuşlardır. Pilu ve ark. da 15-40 gebelik haftaları arasında komplike olmayan 171 gebelikte yaptıkları çalışmada, LVD'nin GH ile artmadığını ve farklı GH'lerde LVD değerleri arasında istatistiksel olarak anlamlı fark olmadığını ve ortalama LVD'yi 6.9 ± 1.3 mm olarak bildirmiştir.⁵

Yapılmış çalışmalarında, LVD'nin ölçümünde farklı tekniklerin kullanılması veya hatalı ölçümlerin yapılması özellikle ventriküler uzun aksı boyunca kaliperlerin uygunuz açı veya aksın sınırlarının dışında yerleştirilmesi veya düzlem görüntüsünde uzun aksı görünmeden ölçüm yapılması ventrikül genişliğinin yanlış değerlendirmesine neden olabileceğini fakat testin duyarlılığında azalmaya neden olmadığı belirtilmiştir.^{3,6}

Snijders ve Nicolaides, 14-40. GH'ler arasında 1040 gebeliği içeren çalışmalarında, LVD'nin GH ile lineer olarak arttığını bildirmiştir.⁷ Ayrıca buldukları nomogram ile kendi oluşturduğumuz no-

TABLO 1: Gebelik haftalarına göre LVG ölçü (mm).

GH	N	Ortanca	Ortalama	Std. Sapma (SS)	Min	Maks
16	43	7.0	7.1	0.86	5.1	9.0
17	57	7.3	7.2	0.77	5.7	9.3
18	45	7.2	7.3	0.91	4.8	9.1
19	39	7.7	7.5	1.03	5.7	9.4
20	57	7.0	7.1	0.99	4.2	9.3
21	145	6.7	6.7	0.90	4.6	8.9
22	164	6.3	6.5	1.03	4.0	9.1
23	126	6.2	6.3	1.13	3.7	9.0
24	58	6.2	6.4	1.16	4.3	8.8

TABLO 2: Gebelik haftalarına göre LVG/BPD ölçü (mm).

GH	N	Ortanca	Ortalama	Std. Sapma (SS)	Min	Maks
16	43	0.21	0.21	0.027	0.16	0.28
17	57	0.20	0.20	0.023	0.15	0.26
18	45	0.18	0.18	0.026	0.12	0.23
19	39	0.17	0.17	0.024	0.12	0.21
20	57	0.15	0.15	0.020	0.09	0.19
21	145	0.13	0.13	0.018	0.09	0.18
22	164	0.12	0.12	0.019	0.08	0.18
23	126	0.11	0.11	0.020	0.06	0.17
24	58	0.11	0.11	0.020	0.07	0.16

TABLO 3: Gebeliğin 16-24. haftaları arasında LVD yüzde değerleri.

Gebelik Haftası	Yüzde Değerleri							
	5	10	25	50	75	90	95	
16	5.8	6.0	6.7	7.0	7.8	8.3	8.7	
17	5.9	6.1	6.9	7.3	7.7	8.3	8.5	
18	5.6	6.1	6.7	7.2	8.0	8.4	8.9	
19	5.7	6.0	6.6	7.7	8.4	8.7	9.0	
20	5.3	5.7	6.4	7.0	7.8	8.3	8.7	
21	5.3	5.5	6.1	6.7	7.3	8.0	8.3	
22	5.1	5.3	5.7	6.3	7.1	8.1	8.6	
23	4.4	4.8	5.5	6.2	7.0	7.9	8.4	
24	4.6	5.1	5.4	6.2	7.4	8.1	8.7	

mogramı karşılaştırdığımızda aynı persentil değerlerindeki LVD'de farklılıklar olduğunu tespit ettik (Tablo 4).

Ventriküломegali ($LVD > 10$ mm) tespit edilen fetusun прогнозu, etiyolojisine ve eşlik eden anomalilere bağlıdır. İzole hafif ventriküломegalinin (10-12 mm) прогнозunun iyi olduğu birçok çalış-

mada bildirilmiştir.^{3-5,8-13} Valat ve ark., 141 ventriküломegali tanısı almış fetusun, прогноз ve etiyolojilerini araştırmışlar ve tanıda ortalama gebelik yaşını 24.8 hafta olarak bulmuşlardır.⁸ İzole sınırlı ventriküломegali olgularının postpartum takiplerinde normal nörolojik gelişim gösterdiğini belirtmişlerdir. Meningomiyeloseliyi en sık (%36)

TABLO 4: Gebeliğin 16-24. Haftaları arasında çalışmamızın LVD persentillerini Snijders & Nikolaides'in persentilleriyle karşılaştırılması.

Gebelik Haftası	Mevcut çalışma			Snijders ve Nikolaides ⁷		
	5.	50.	95.	5.	50.	95.
16	5.8	7.0	8.7	5.2	6.9	8.6
17	5.9	7.3	8.5	5.3	7.0	8.7
18	5.6	7.2	8.9	5.4	7.1	8.8
19	5.7	7.7	9.0	5.5	7.2	8.8
20	5.3	7.0	8.7	5.6	7.2	8.9
21	5.3	6.7	8.3	5.6	7.3	9.0
22	5.1	6.3	8.6	5.7	7.4	9.1
23	4.4	6.2	8.4	5.8	7.5	9.2
24	4.6	6.2	8.7	5.9	7.6	9.3

etiyoloji olarak bildirmişlerdir. Ouahba ve ark. 167 izole hafif ventrikülomegali (10-15 mm) fetusu içeren çalışmalarında; amniyosentez ile dört olguda kromozomal anomalisi ve iki olguda konjenital enfeksiyon (CMV), MRG incelemesi ile de 15 olguda yapısal serebral anomalii tespit etmişlerdir.⁹ Yirmi bir gebelikte de terminasyon düşünülmüşdür. Postnatal 19-127. aylar arasında 101 çocuk değerlendirildiğinde; antenatal dönemde LVD'nin 12 mm'den büyük ve progresyon gösteren 12 çocukta psikomotor gelişimde gecikme veya nörolojik bir hastalık tespit etmişlerdir.

Mercier ve ark. 26 izole hafif ventrikülomegali (10-15 mm) olguyu retrospektif olarak inceledi; 10 fetusda LVD'de gerileme olduğunu, 10 fetusda LVD'nin sabit kaldığını ve 6 fetusda postnatal dönemde tanıyı teyit etmişlerdir.¹⁰ Bir olguda Down sendromu, bir olguda proensefali ve dört olguda gelişim geriliği tespit etmişlerdir. Parilla ve ark.nın izole ventrikülomegali olan fetusları içeren çalışmalarında; fetusların %41'inde normal değerlere döndüğünü, %16'sında ilerlediğini ve %43'ünde sabit kaldığını bildirmiştir.¹¹ Ayrıca 21 gebeye amniyosentez yapmışlar ve bir olguda "cri du chat" sendromu saptamışlardır.

Senat ve ark. unilateral ventrikülomegali tanısı almış 14 fetusu terme kadar takip etmişler; 10 fetusda LVD'nin 11-13 mm arasında sabit kaldığını ve 4 fetusda LVD'nin 20-25 mm'ye kadar büyüdüğünü görmüşlerdir.¹² Bu dört fetusda foramen monro at-

rezisi, Weaver sendromu, konjenital toksoplazma ve beyin atrofisi tespit etmişlerdir. Bunlardan üç gebeliğe terminasyon yapıp postmortem tanıyı doğrulamışlardır. Durfee ve ark. asimetrik ventrikülomegali olan 14 fetusta yapılan USG'de; Dandy Walker sendromu, intraventriküler kanama, proensefyal kist, plevral efüzyon ve ağır renal pelvis dilatasyonu tespit etmişlerdir.¹³ Bu 14 fetusun postnatal sonuçlarını iki olguda intrakraniyal hemoraji, iki olguda konjenital sendrom, bir olguda foramen monro atrezisi, bir olguda tüberoz skleroz, bir olguda serebral palsi, bir olguda gelişim geriliği bulunurken altı olguya da normal olarak bulmuşlardır. Breeze ve ark., ağır ventrikülomegali (>15 mm) tanısı almış 20 fetusun etiyoloji ve прогнозunu takip etmişlerdir.¹⁴ Fetusların; 3'ünde spina bifida, 12'sinde ek intrakraniyal anomalii, 2'sinde ekstrakraniyal anomalii, 1'inde toksoplazma ve 1'inde trizomi 21 tespit etmişlerdir. On gebeliği termine etmişler ve diğer 10 fetusun doğumdan sonra tanılarını doğrulamışlardır. Doğan iki bebeğin postpartum dördüncü ayda öldüğünü bildirmiştir.

Prenatal ve perinatal beyin gelişimi sırasında ortaya çıktıgı varsayılan otizm, idiyopatik ve sendromal mental retardasyon, fragile X sendromu, fetal alkol sendromu ve şizofreniyi içeren nöropsikiatrik bozukluklarda da hafif ventrikülomegali tespit edilmiştir.¹⁵⁻¹⁹ Ment ve ark.; ventrikülomegalinin IQ'nun 70'ten az olduğunu gösteren önemli bir belirteç olduğunu bildirmiştir.²⁰

SONUÇ

Sonuç olarak; ortalama lateral serebral LVG'yi 6.73 ± 1.08 mm olarak ve GH ile artmadığını tespit etti.

10 mm veya yukarısında yapılan ölçümler de diğer yapısal anomalilerin ve konjenital enfeksiyonların taranması ve amniyosentez için endikasyon teşkil etmektedir.

KAYNAKLAR

1. Moore KL, Persaud TVN. The nervous system. In: Moore KL, Persaud TVN, eds. *The Developing Human: Clinically Oriented Embriology*. 8th ed. Philadelphia: WB Saunders; 2008. p.380-418.
2. Kostavic-Knezevic L, Gojovic S, Mitrecic D. Development of the human embryo. In: Kurayak A, Cherenak FA, eds. *Ultrasound in Obstetrics and Gynecology*. 2nd ed. New Delhi: Jaypee; 2008. p.143-51.
3. Alagappan R, Browning PD, Laorr A, McGahan JP. Distal lateral ventricular atrium: reevaluation of normal range. *Radiology* 1994;193(2):405-8.
4. Farrell TA, Hertzberg BS, Kliewer MA, Harris L, Paine SS. Fetal lateral ventricles: reassessment of normal values for atrial diameter at US. *Radiology* 1994;193(2):409-11.
5. Pilu G, Reece EA, Goldstein I, Robbins JC, Bovicelli L. Sonographic evaluation of the normal developmental anatomy of the fetal cerebral ventricles: II. The atria. *Obstet Gynecol*. 1989;73(2):250-6.
6. Heiserman J, Filly RA, Goldstein RB. Effect of measurement errors on sonographic evaluation of ventriculomegaly. *J Ultrasound Med* 1991;10(3):121-4.
7. Snijders RJ, Nicolaides KH. Fetal biometry at 14-40 weeks' gestation. *Ultrasound Obstet Gynecol* 1994;4(1):34-48.
8. Valat AS, Dehouck MB, Dufour P, Dubois JP, Djebbara AE, Dewismes L, et al. [Fetal cerebral ventriculomegaly. Etiology and outcome, report of 141 cases]. *J Gynecol Obstet Biol Reprod (Paris)* 1998;27(8):782-9.
9. Ouahba J, Luton D, Vuillard E, Garel C, Gressens P, Blanc N, et al. Prenatal isolated mild ventriculomegaly: outcome in 167 cases. *BJOG* 2006;113(9):1072-9.
10. Mercier A, Eurin D, Mercier PY, Verspyck E, Marpeau L, Marret S. Isolated mild fetal cerebral ventriculomegaly: a retrospective analysis of 26 cases. *Prenat Diagn* 2001;21(7):589-95.
11. Parilla BV, Endres LK, Dinsmoor MJ, Curran L. In utero progression of mild fetal ventriculomegaly. *Int J Gynaecol Obstet* 2006;93(2):106-9.
12. Senat MV, Bernard JP, Schwärzler P, Britten J, Ville Y. Prenatal diagnosis and follow-up of 14 cases of unilateral ventriculomegaly. *Ultrasound Obstet Gynecol* 1999;14(5):327-32.
13. Durfee SM, Kim FM, Benson CB. Postnatal outcome of fetuses with the prenatal diagnosis of asymmetric hydrocephalus. *J Ultrasound Med* 2001;20(3):263-8.
14. Breeze AC, Alexander PM, Murdoch EM, Missfelder-Lobos HH, Hackett GA, Lees CC. Obstetric and neonatal outcomes in severe fetal ventriculomegaly. *Prenat Diagn* 2007;27(2):124-9.
15. Piven J, Arndt S, Bailey J, Havercamp S, Andreasen NC, Palmer P. An MRI study of brain size in autism. *Am J Psychiatry* 1995;152(8):1145-9.
16. Prassopoulos P, Cavouras D, Ioannidou M, Golfinopoulos S. Study of subarachnoid spaces in children with idiopathic mental retardation. *J Child Neurol* 1996;11(3):197-200.
17. Reiss AL, Abrams MT, Greenlaw R, Freund L, Denckla MB. Neurodevelopmental effects of the FMR-1 full mutation in humans. *Nat Med* 1995;1(2):159-67.
18. Swayze VW 2nd, Johnson VP, Hanson JW, Piven J, Sato Y, Giedd JN, et al. Magnetic resonance imaging of brain anomalies in fetal alcohol syndrome. *Pediatrics* 1997;99(2):232-40.
19. Lawrie SM, Abukmeil SS. Brain abnormality in schizophrenia. A systematic and quantitative review of volumetric magnetic resonance imaging studies. *Br J Psychiatry* 1998;172:110-20.
20. Ment LR, Vohr B, Allan W, Westerveld M, Katz KH, Schneider KC, et al. The etiology and outcome of cerebral ventriculomegaly at term in very low birth weight preterm infants. *Pediatrics* 1999;104(2 Pt 1):243-8.